

HOJA no. 835, BRAZATORTAS

FOTOGRAFÍAS

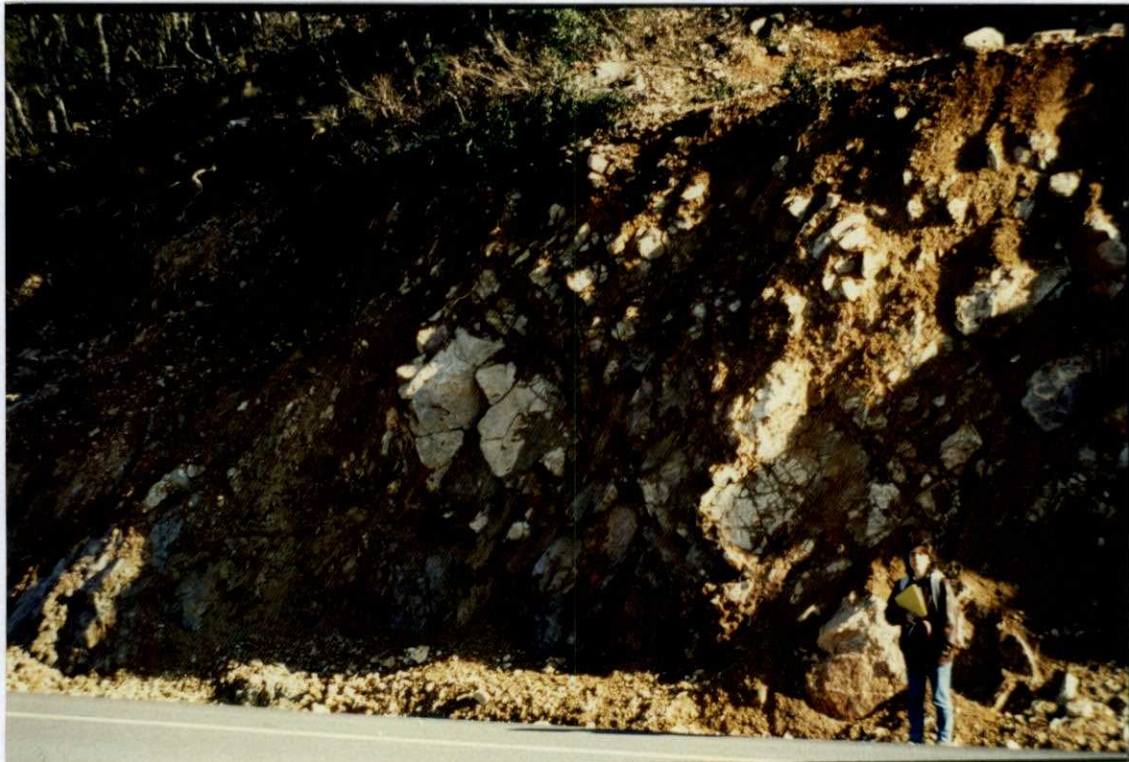


FOTO n° 1.- Afloramiento de la discordancia Precámbrico-Paleozoico en la carretera N-420 en la subida del puerto Niefla. La rocas claras de la derecha son los conglomerados basales de la "Formación de Base", mientras que las grises de la izquierda corresponden al conjunto litológico inferior precámbrico "Alcudiense Inferior".



FOTO n° 2.- Detalle de los conglomerados de la unidad "Formación de Base" situados inmediatamente encima de la discordancia Precámbrico-Paleozoico, en el afloramiento de la carretera N-420 del puerto Niefla.

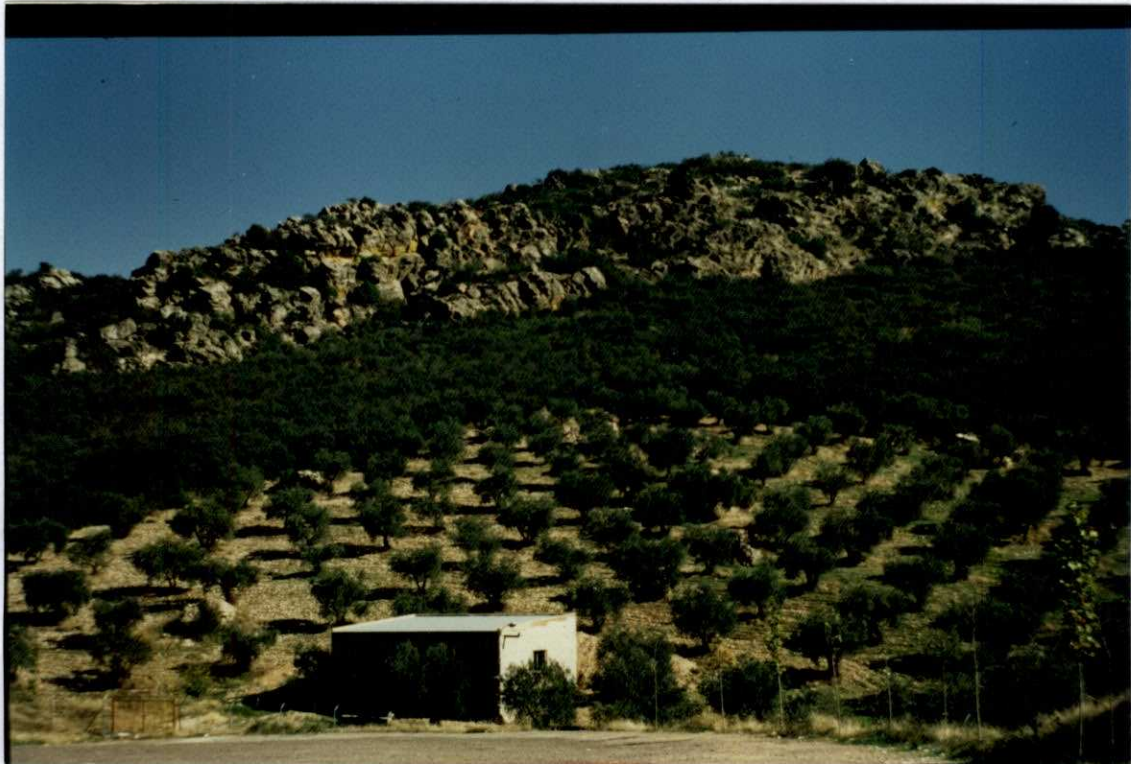


FOTO n° 3.- Crestones cuarcíticos de la parte superior de la unidad "Cuarcita Armoricana" en el puerto Pulido.



FOTO n° 4.- Contacto entre las unidades "Cuarcita Armoricana" y "Estratos Pochico" en la trinchera de la N-420 en el alto del puerto Pulido. los gruesos bancos de ortocuarcitas del centro de la foto representan el techo de la "Cuarcita Armoricana".



FOTO n° 5.- Característico afloramiento de los "Estratos Pochico" en el corte de la trinchera de la carretera N-420 en el alto del puerto Pulido.



FOTO n° 6.- Trenes de *ripples* de oscilación en la superficie de techo de capas arenosas de los "Estratos Pochico". Afloramiento de la antigua estación de F.C. de Fuencaliente, cerca del puerto Niefla.



FOTO n° 7.- Afloramiento de los "Esquistos de Río" en la carretera N-420 en el extremo meridional de la hoja. Obsérvese la considerable participación arenosa, normalmente areniscas finas y muy finas, que marcan con claridad la estratificación.

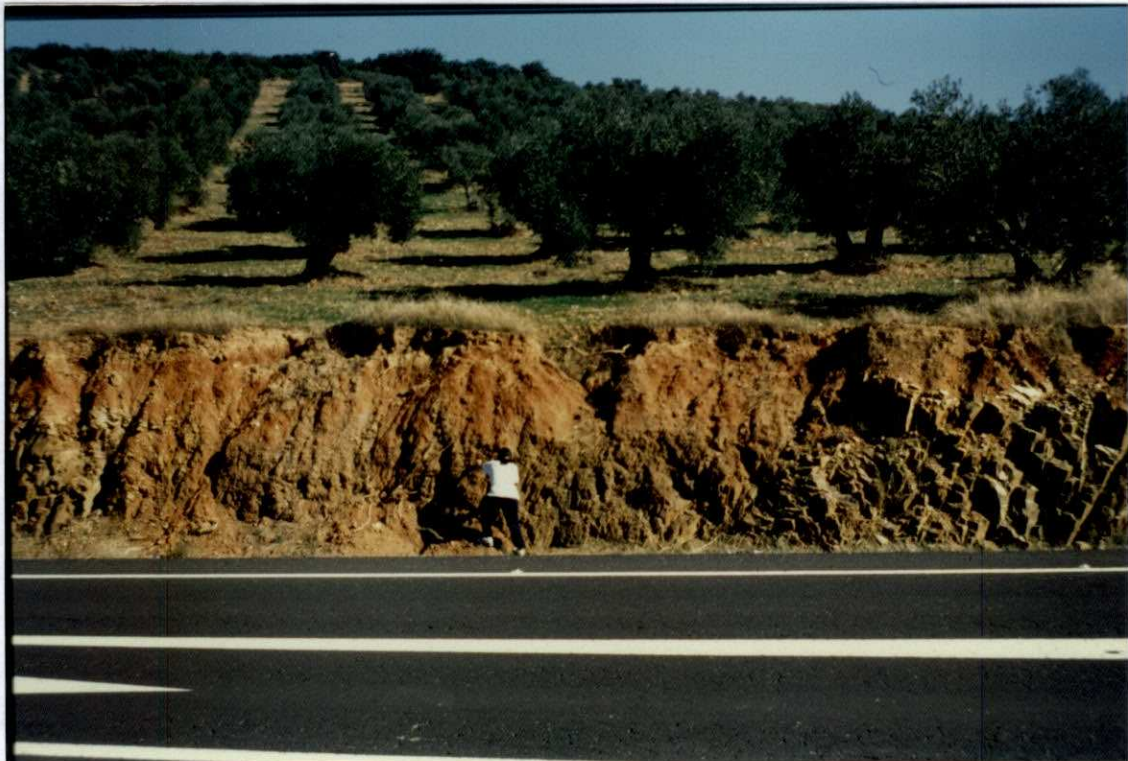


FOTO n° 8.- Afloramiento del tramo pizarroso de la parte inferior de las "Alternancias de Canteras" en la carretera N-420, junto al cruce de Veredas.



FOTO n° 9.- Típico afloramiento de las "Alternancias de Canteras" en la carretera N-420, en la parte meridional de la hoja. Se pueden reconocer claras formas de *sand-waves*.



FOTO n° 10.- Trenes de *ripples* de oscilación en la superficie de techo de capas arenosas de las "Alternancias de Canteras" en la carretera N-420, parte meridional de la hoja.



FOTO n° 11.- Sección de la unidad "Cuarcita de Canteras" en la trinchera de la nueva variante de Brazatortas de la N-420.



FOTO n° 12.- Afloramiento de los "Bancos Mixtos" en la nueva variante de Brazatortas de la N-420.

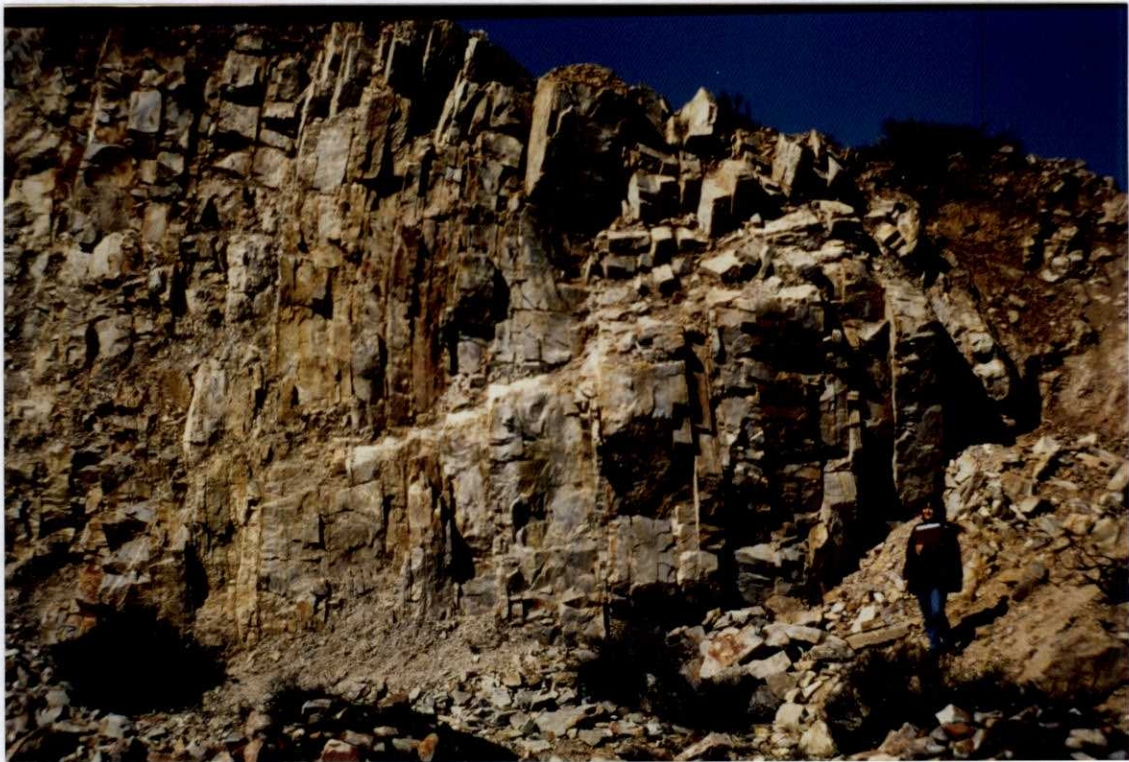


FOTO n° 13.- Afloramiento de la unidad "Cuarcita del Criadero" en una cantera localizada a levante del pueblo de Brazatortas.



FOTO n° 14.- Conglomerado carbonífero de Mina Riquilla. Canto cuarcítico de grandes dimensiones intensamente fracturado por fenomenos deformativos frágiles posteriores a su depósito. Obsérvese que la superficie de pulimentación del canto aparece afectada por la fracturación.



FOTO n° 15.- Conglomerado carbonífero de Mina Riquilla. Canto cuarcítico de grandes dimensiones y con un grado de redondez notable, que aparece fracturado por fenómenos deformativos frágiles posteriores a su depósito. Obsérvese que la superficie de pulimentación del canto aparece afectada por la fracturación.



FOTO n° 16.- Depósitos cuaternarios que cubren el carbonifero discordante de la cuenca hullera de Puertollano. Afloramiento del río Ojailén junto a la mina Lourdes.



FOTO n° 17.- Pliegues pre-hercínicos en las alternancias de pizarras y grauwacas del "Alcudiense Inferior" cerca del cortijo de Tres Ventas. Los dos martillos marcan la posición de los dos flancos del pliegue. La esquistosidad hercínica S_1 , que lleva una trayectoria aproximada de arriba a abajo de la foto, corta con claridad a ambos flancos del pliegue.



FOTO n° 18.- Suave sinclinal de F-1 hercínica desarrollado en alternancias arenoso-pizarrosas del "Alcudiense Superior". Dentro de la estructura mayor se forman varias estructuras de plegamiento menores con diferentes estilos. Corte de la trinchera del F.C. AVE en el paraje de La Veredilla.



FOTO n° 19.- Pliegue de F-1 hercínica con morfología de *chevron* desarrollado en las "Alternancias de Canteras". Se puede observar la evolución vertical del pliegue, que casi isopaco en la parte de abajo, evoluciona rápidamente al *chevron* y rompe su charnela en la parte alta. Afloramiento de la nueva variante de Brazatortas de la N-420.



FOTO n° 20.- Pliegue en cofre formado en un tramo de alternancias de areniscas y pizarras dentro de los "Esquistos de Río".
Trinchera del F.C. AVE en el valle de El Escorial.



FOTO n° 21.- Desigual desarrollo de la esquistosidad hercínica S_1 al atravesar alternancias de pizarras y grauwas. Afloramiento del arroyo de los Santiagos.



FOTO n° 22.- Estructuras de deformación de F-2 hercínica desarrolladas en los "Estratos Pochico" de la trinchera del F.C. AVE junto a la aldea de El Horcajo. Se pueden ver junto a la pala excavadora y en el centro de la fotografía varios pliegues cónicos de eje subvertical. En la izquierda de la imagen se puede reconocer una cuña tectónica.

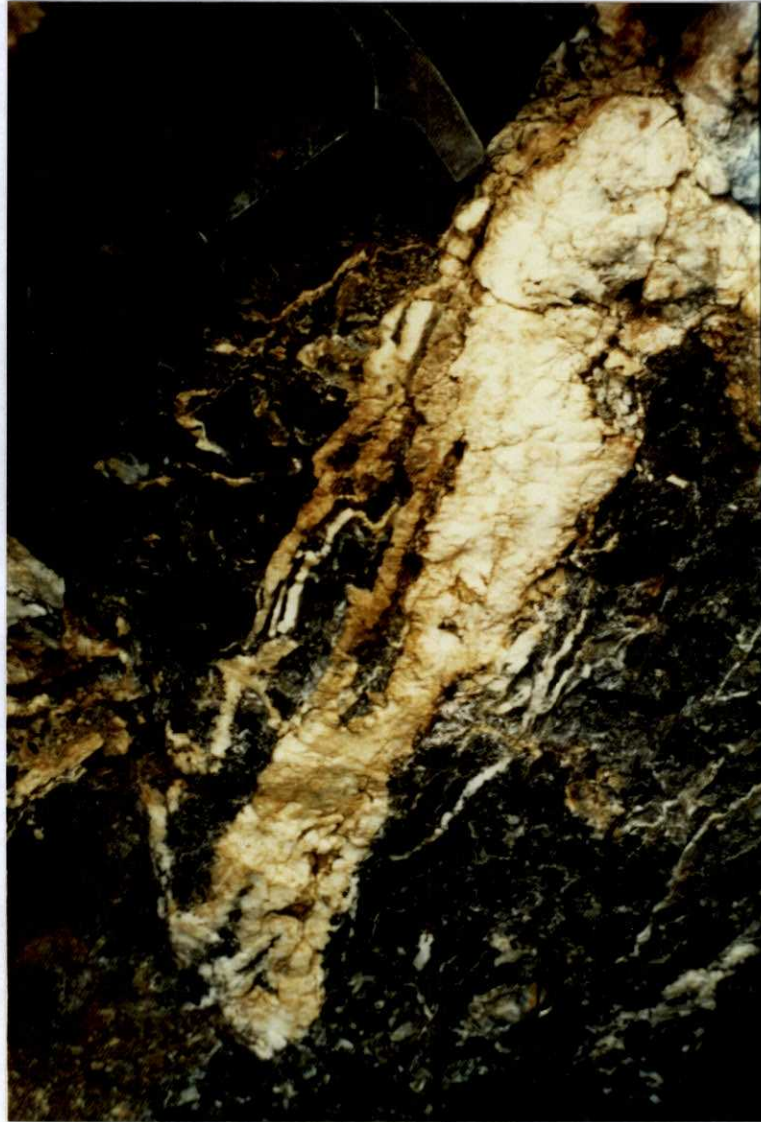


FOTO n° 23.- Cizalla dúctil-frágil silicificada de F-2 hercínica. Indicio minero de la Mina Pepita, cerca del río Tablillas.



FOTO n° 24.- Dique subvolcánico de composición básica encajado en el techo de la "Cuarcita de Canteras". Estos diques presentan un trazado muy sinuoso, con frecuentes y bruscos cambios de rumbo, así como repentinas variaciones de espesor. Debido a estas bruscas variaciones, un mismo dique pueden presentar tanto situaciones de práctica concordancia con la estratificación, a modo de *sills*, a relaciones de corte casi ortogonales. El ejemplo de la fotografía está tomado en la nueva variante de Brazatortas de la N-420.



FOTO n° 25.- Dique de composición intermedia-básica encajado en los "Esquistos de Río" en el valle de El Escorial. Las manchas blancas corresponden a vacuolas rellenas de carbonatos.



FOTO n° 26.- Colada basáltica del volcán del Retamar. El corte de la trinchera del F.C. AVE permite ver con claridad la disposición de los materiales volcánicos sobre los depósitos cuaternarios que cubren el valle del río Ojailén.







































